



LGAD与ALTIROC芯片和LATIC芯片 倒装键合后的时间性能

李莊

Overview

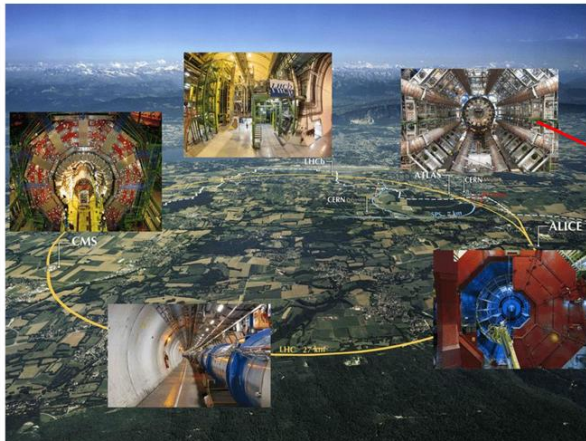
- ▶ 背景介绍
- ▶ LGAD与ALTIROC键合后的时间性能
- ▶ 自研LATIC芯片及其与LGAD键合过程
- ▶ 总结

Overview

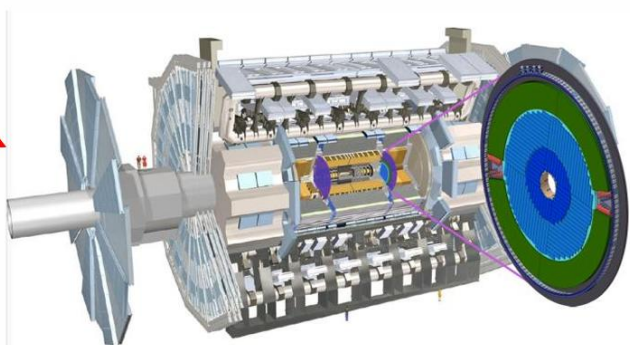
- ▶ 背景介绍
- ▶ LGAD与ALTIROC键合后的时间性能
- ▶ 自研LATIC芯片及其与LGAD键合过程
- ▶ 总结

ATLAS HGTD project

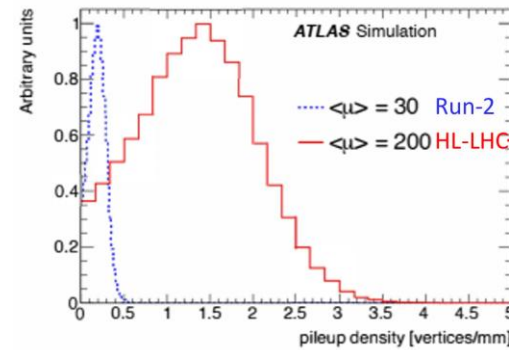
- ▶ LHC亮度升级：提升碰撞频率，能够更加有效地进行粒子物理实验
- ▶ 堆积问题：碰撞频率提升带来大量无效事例，使基于空间信息的重建变得困难
- ▶ 应对方法：引入高精度的时间信息，增强粒子区分能力，使事例重建更准确
- ▶ **HGTD**: High-Granularity Timing Detector
 - ◊ 50 ps ; 1.3 mm × 1.3 mm
- ▶ **LGAD**: Low-Gain Avalanche Detector



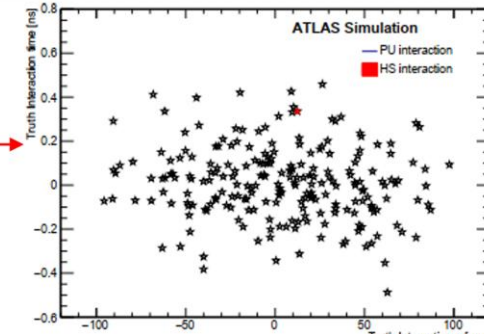
ATLAS Detector in LHC



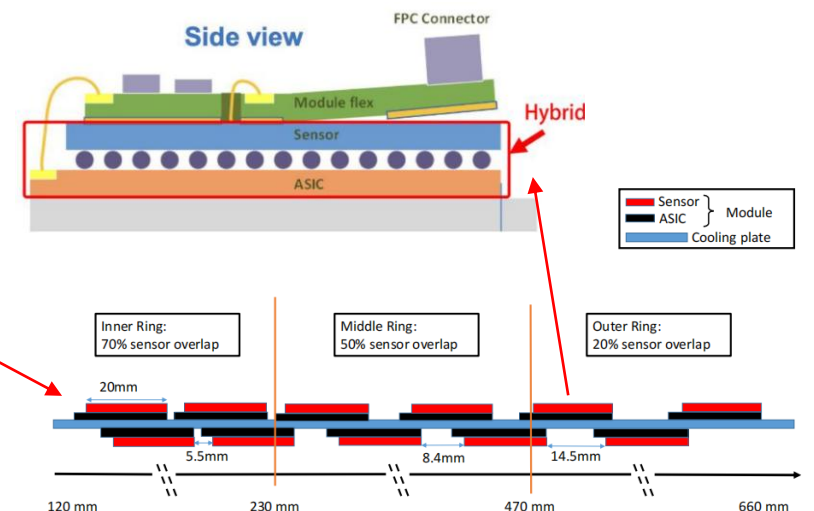
Position of the HGTD within ATLAS



Local pileup vertex densities
at generator level



truth interactions in a single
bunch crossing in the z-t plane

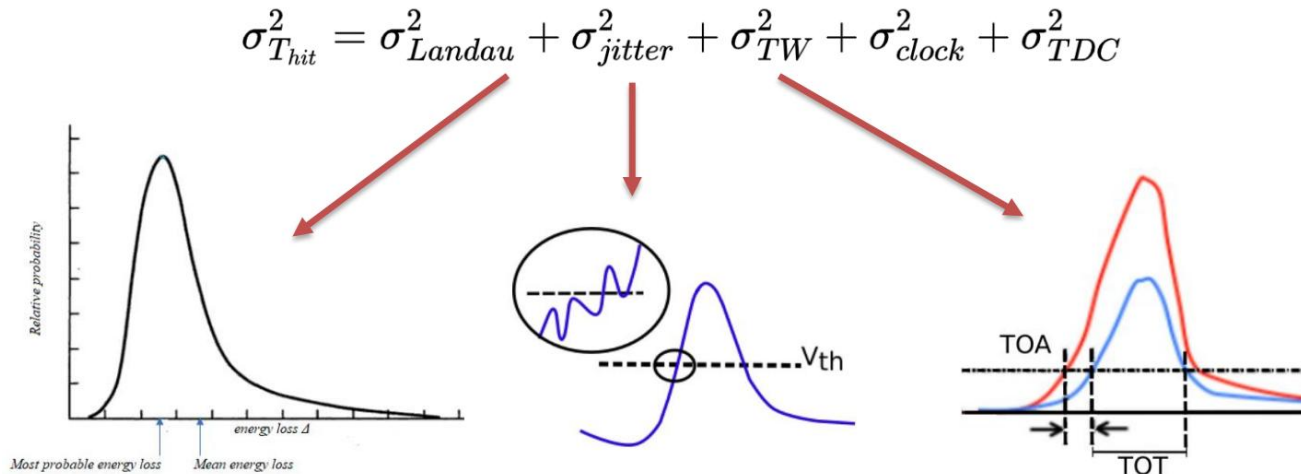


Overview

- ▶ 背景介绍
- ▶ **LGAD与ALTIROC键合后的时间性能**
- ▶ 自研LATIC芯片及其与LGAD键合过程
- ▶ 总结

时间性能：精度的贡献项和测试方法

- ▶ LGAD读出中影响时间性能的因素：



- ▶ 激光测试：

$$\sigma_{T_{hit}}^2 = \cancel{\sigma_{Landau}^2} + \cancel{\sigma_{jitter}^2} + \cancel{\sigma_{TW}^2} + \cancel{\sigma_{clock}^2} + \sigma_{TDC}^2$$

- ▶ 放射源+示波器测试：

$$\sigma_{T_{hit}}^2 = \sigma_{Landau}^2 + \sigma_{jitter}^2 + \sigma_{TW}^2 + \cancel{\sigma_{clock}^2} + \cancel{\sigma_{TDC}^2}$$

- ▶ 放射源/束流测试(片内TDC)：

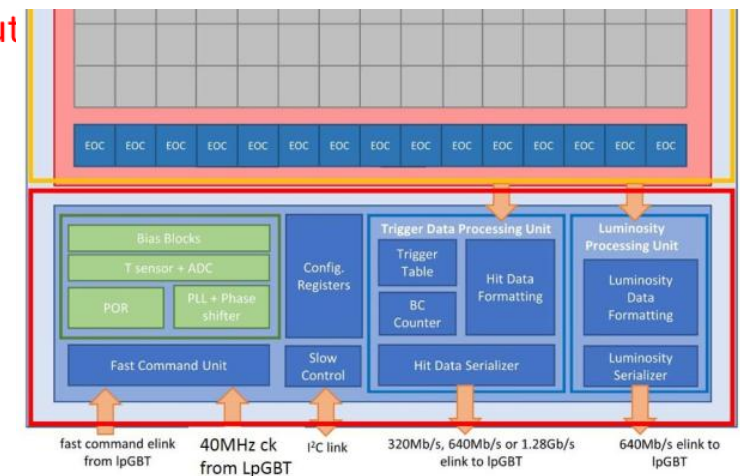
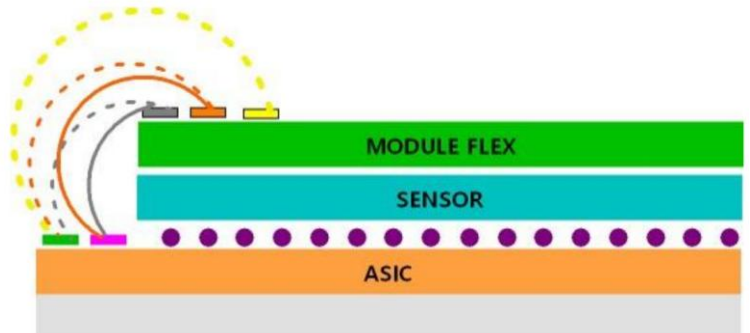
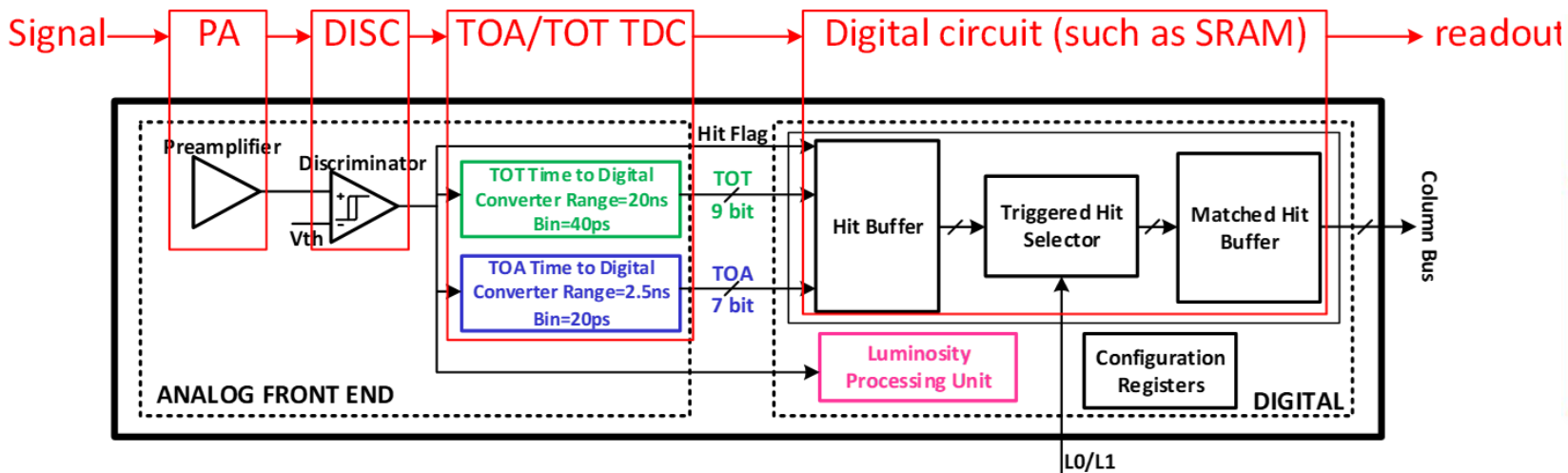
$$\sigma_{T_{hit}}^2 = \sigma_{Landau}^2 + \sigma_{jitter}^2 + \sigma_{TW}^2 + \sigma_{clock}^2 + \sigma_{TDC}^2$$

Hybrid tested

测试板编号	sensor	ALTIROC	Hybridization	已完成的测试
B109	Pre-production IHEP-IME	A	Baseline Hybridization	Laser、testbeam
B110	Pre-production IHEP-IME	A	Baseline Hybridization	β 、testbeam
B117	Pre-production USTC-IME	A	ACP Hybridization	β 、testbeam
B118	Pre-production USTC-IME	A	ACP Hybridization	Laser、testbeam
USTC-B1	Pre-production USTC-IME	3	Baseline Hybridization	Electronic、 β

ALTIROC芯片简介

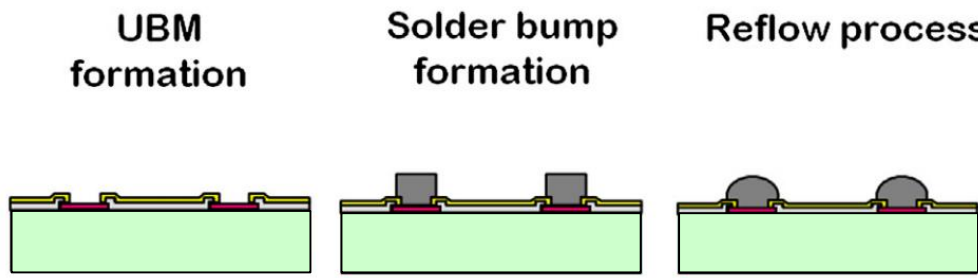
- ▶ ALTIROC, ATLAS LGAD Timing Integrated Readout Chip (15×15 通道)
- ▶ 功能: 对LGAD输出的微弱电流信号完成放大、甄别、到达时间(TOA)和过阈时间(TOT)的测量
- ▶ 结构: 与LGAD相同通道尺寸的阵列型结构, 15×15 通道
 - ◇ 通道内电路: 前放、甄别器、TDC、数字电路
 - ◇ 外围电路: 偏置、时钟、慢控制、触发和数据处理
- ▶ 版本迭代: ALTIROC-3到ALTIROC-A升级
 - ◇ 决定时间分辨的前端电路不变
 - ◇ 在TDC中用高阈值MOS管减小功耗
 - ◇ 去除TDC的TOA busy信号改善TDC非线性, 修改一些数字bug
 - ◇ 优化pad阵列便于打线



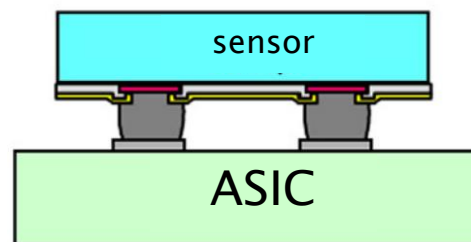
Hybrid的两种键合方式

Baseline hybridization

- ◊ Sensor and ASIC UBM
- ◊ Deposited solder bumps (SnAg, 80 μm)on ASIC
- ◊ Align, heat and compress

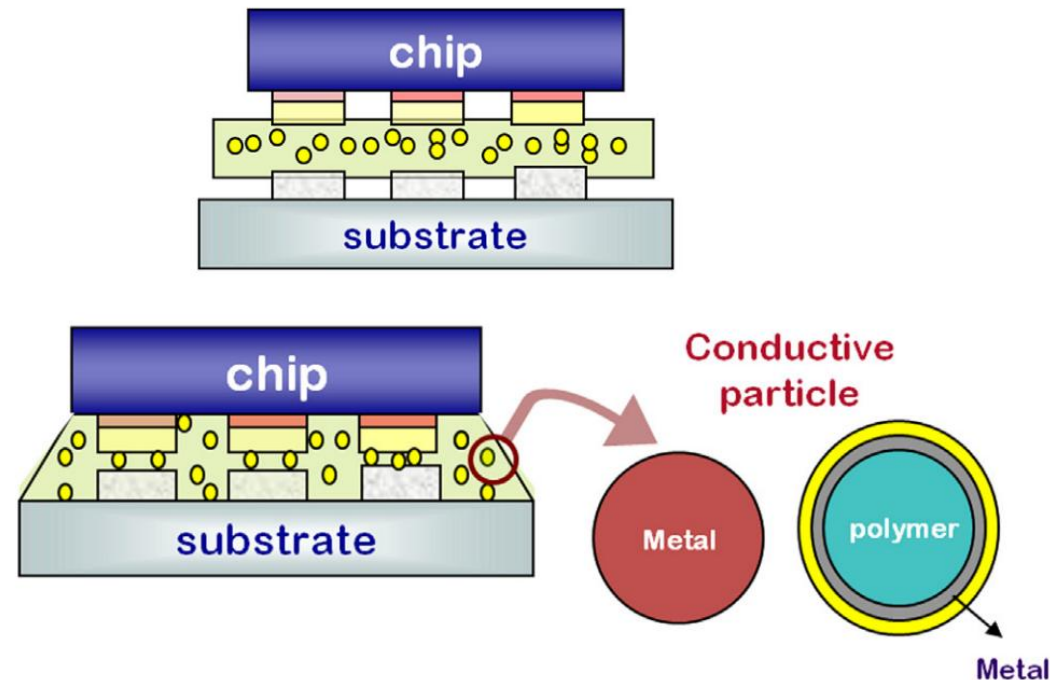


Solder joining



ACP Hybridization

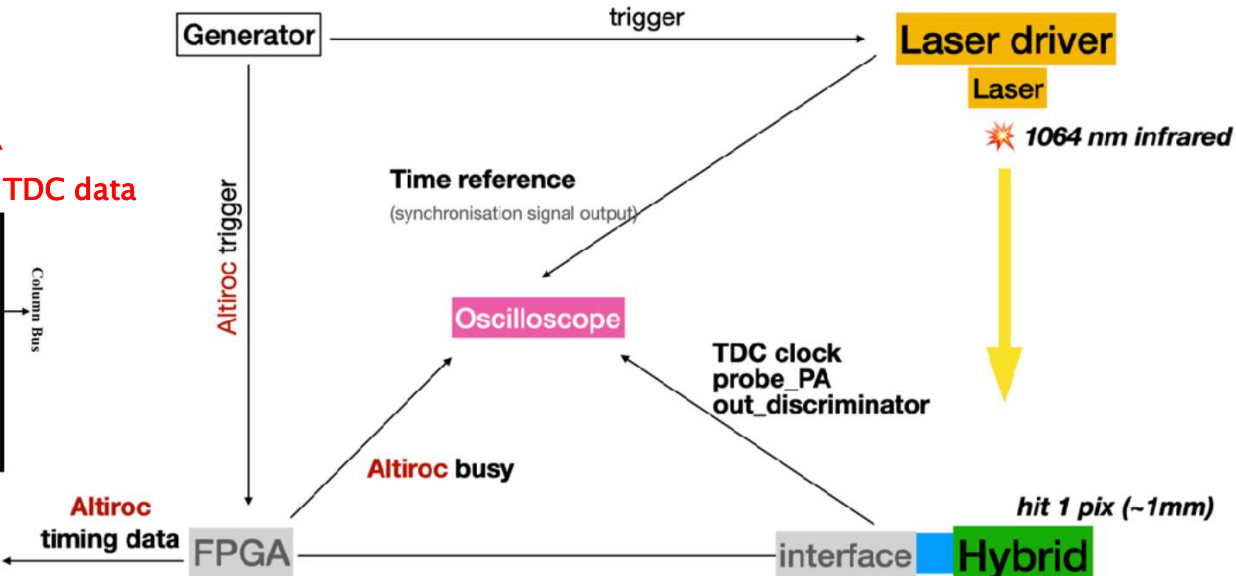
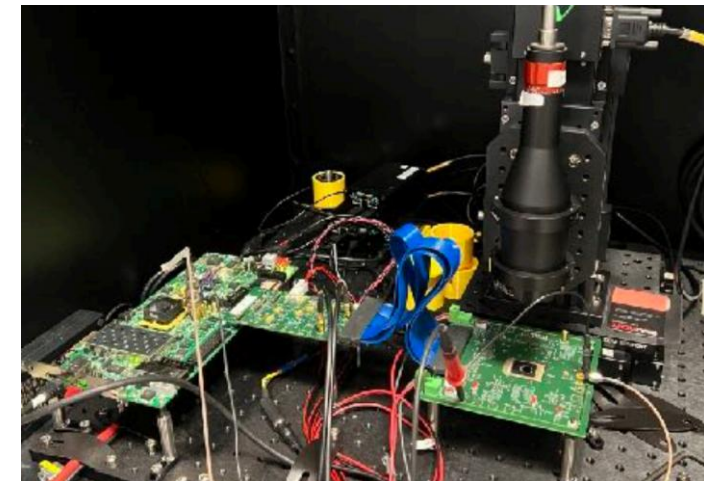
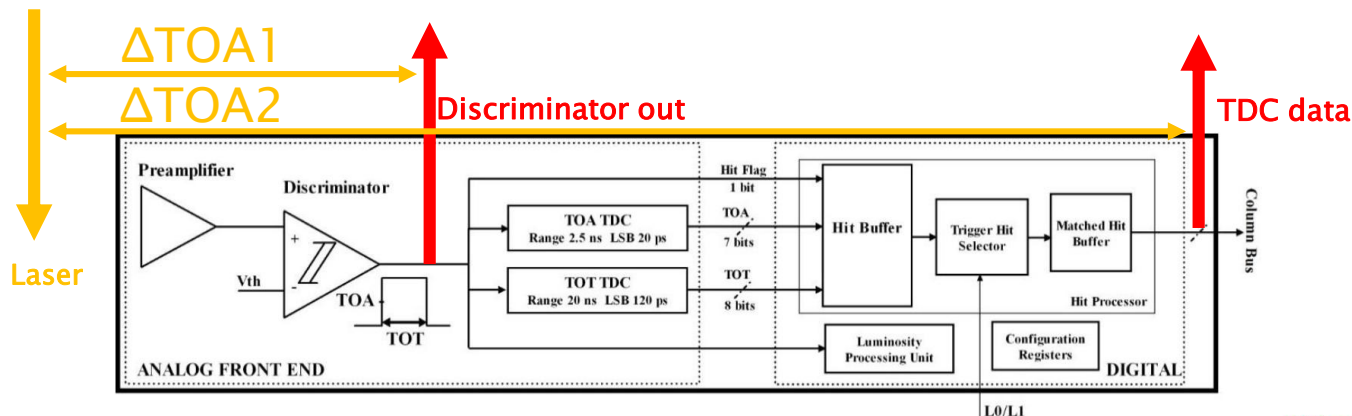
- ◊ (Double) gold stud deposition
- ◊ Anisotropic Conductive Paste (ACP)
- ◊ Non-Conductive Adhesive (NCA)
- ◊ Align and compress



激光测试

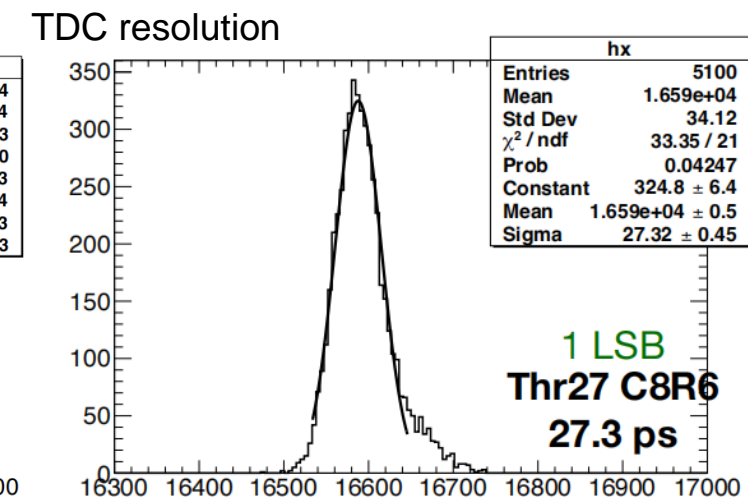
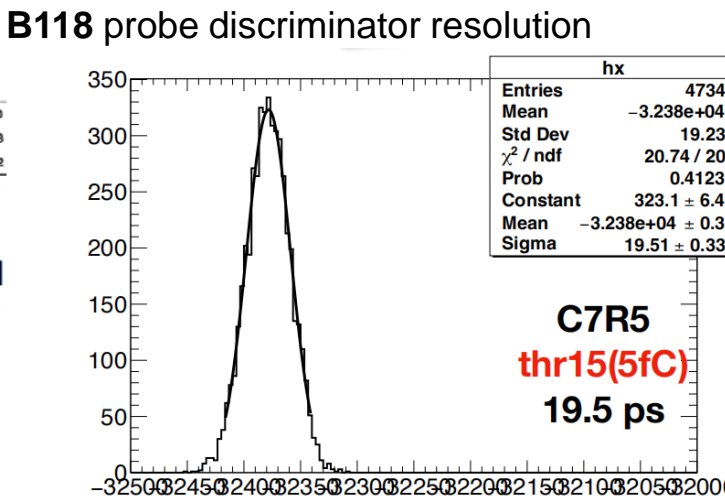
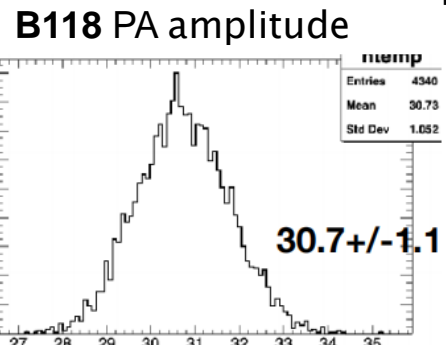
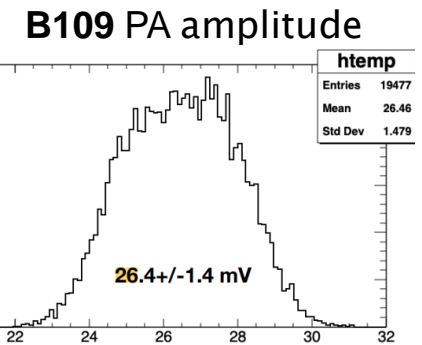
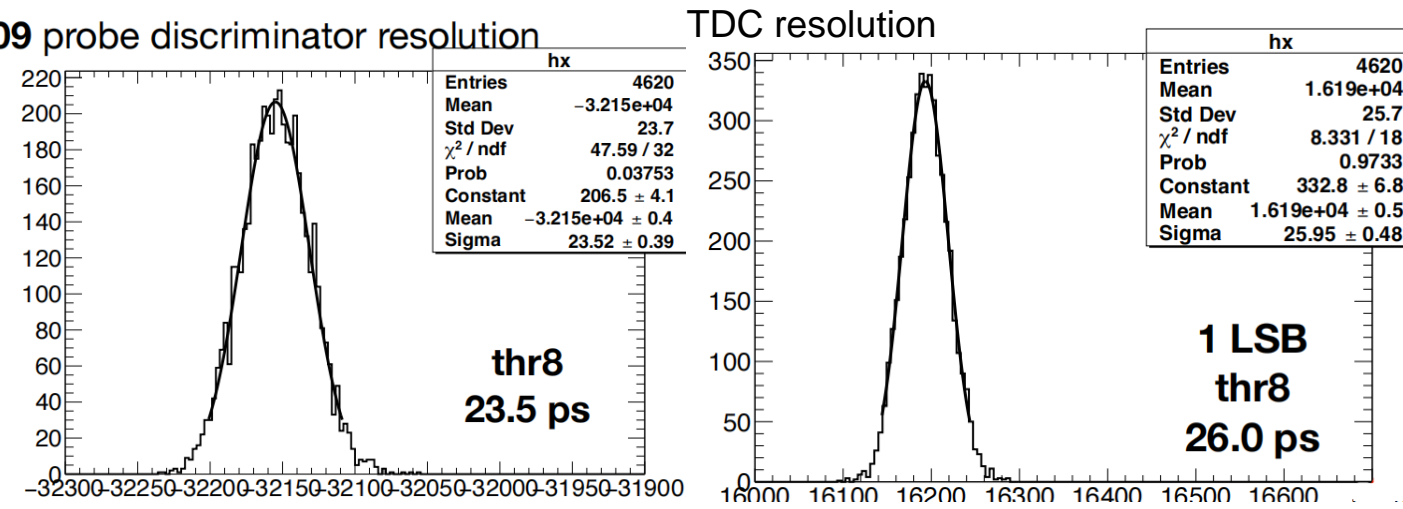
- 信号源产生两路同步信号，分别触发激光和读出。激光源产生激光和时间参考电信号。
- ΔTOA1 : 示波器直接测量激光时间参考信号和甄别器信号的时间差。
- ΔTOA2 : 用片内TDC测激光信号相对时钟的时间差，用示波器测激光时间参考信号相对时钟的时间差，二者作差。

$$\sigma_{T_{hit}}^2 = \cancel{\sigma_{Landau}^2} + \sigma_{jitter}^2 + \cancel{\sigma_{TW}^2} + \sigma_{clock}^2 + \sigma_{TDC}^2$$



激光测试

- IHEP sensor + baseline 键合(1 pixel tested)
 - 信号幅度 ~26mV
 - Disc-Laser 23.5 ps
 - TDC-Laser 26 ps
- USTC sensor + ACP 键合(5 pixels tested)
 - 信号幅度 ~30mV
 - Disc-Laser 16-19 ps
 - TDC-Laser around 25-30 ps

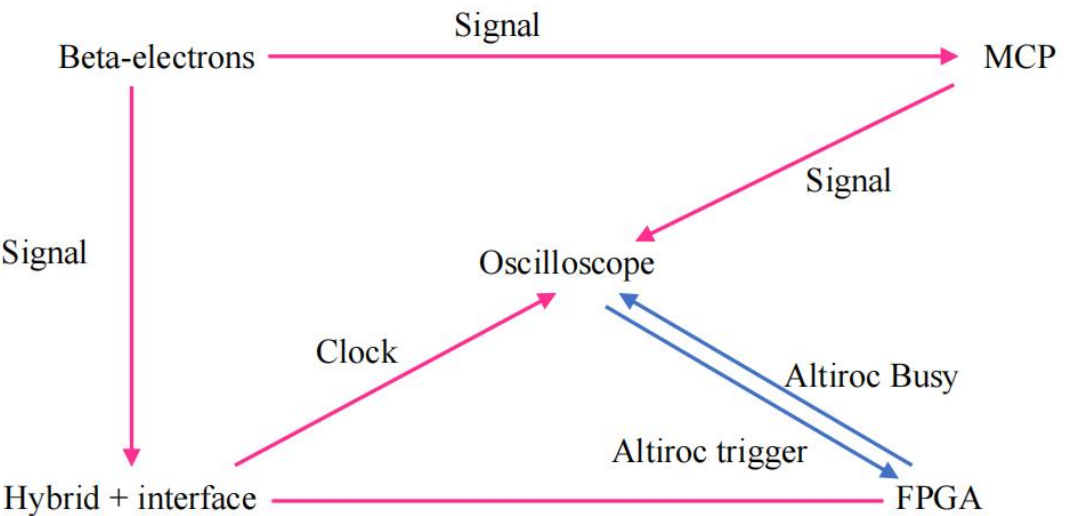
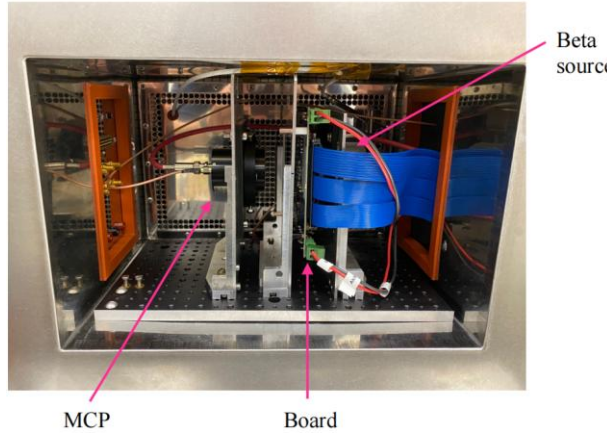


放射源测试

▶ Testbench in CERN

- ◇ 环境温度: -30°C
- ◇ 放射源: ^{90}Sr
- ◇ $\sigma_{\text{MCP}} \sim 10 \text{ ps}$

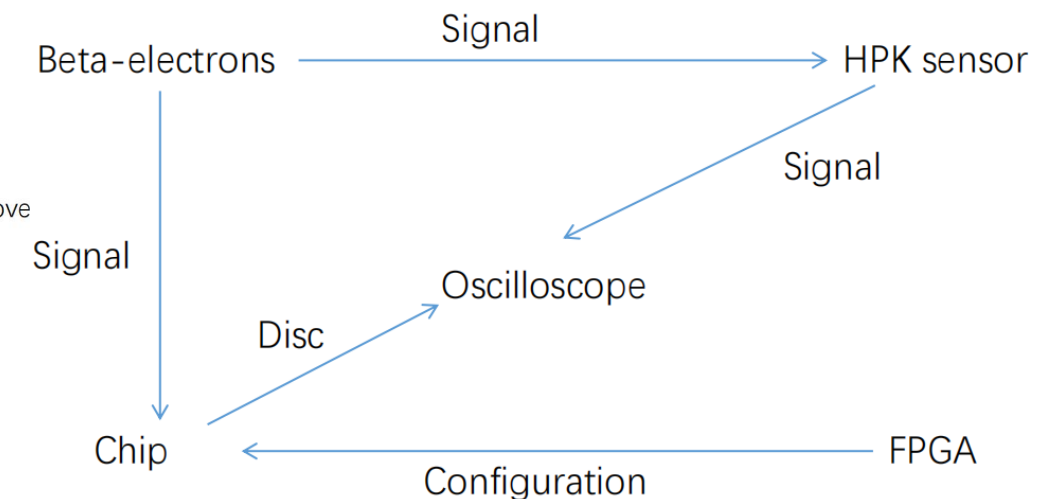
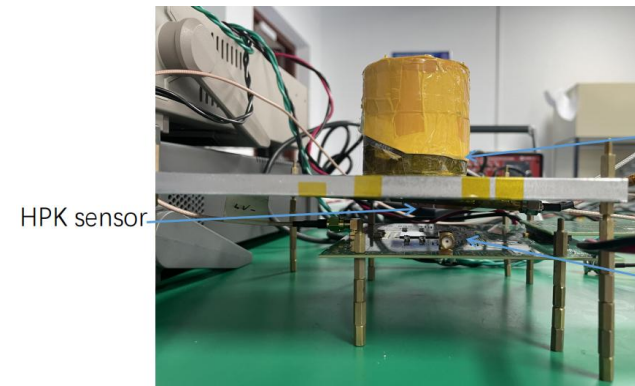
$$\sigma_{T_{\text{hit}}}^2 = \sigma_{\text{Landau}}^2 + \sigma_{\text{jitter}}^2 + \sigma_{\text{TW}}^2 + \sigma_{\text{clock}}^2 + \sigma_{\text{TDC}}^2$$



▶ Testbench in USTC

- ◇ 环境温度: -30°C
- ◇ 放射源: ^{90}Sr
- ◇ $\sigma_{\text{HPK sensor}} \sim 45 \text{ ps}$

$$\sigma_{T_{\text{hit}}}^2 = \sigma_{\text{Landau}}^2 + \sigma_{\text{jitter}}^2 + \sigma_{\text{TW}}^2 + \sigma_{\text{clock}}^2 + \sigma_{\text{TDC}}^2$$



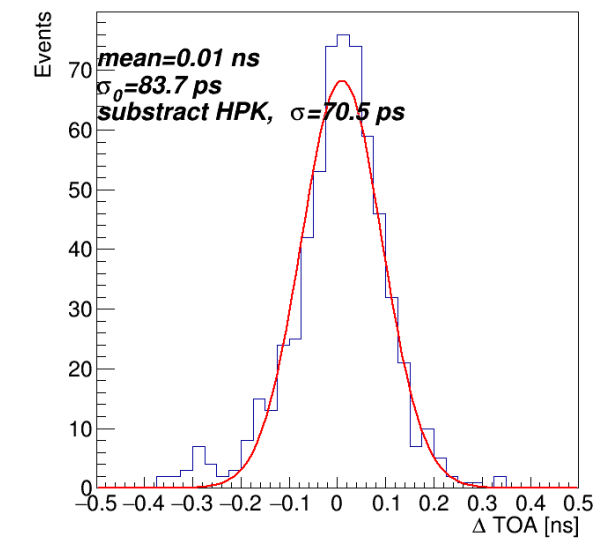
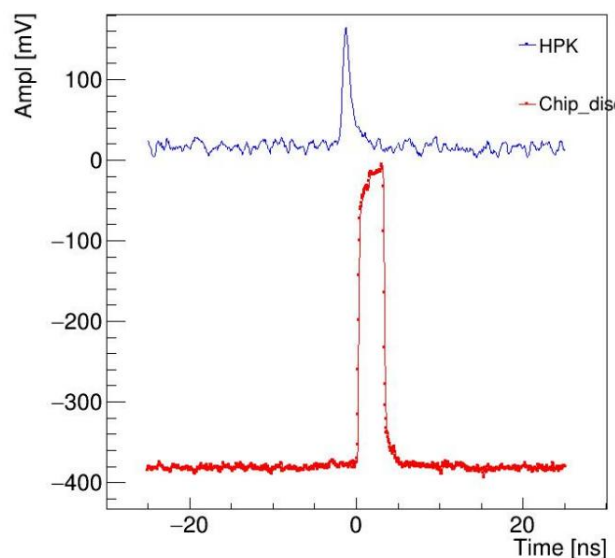
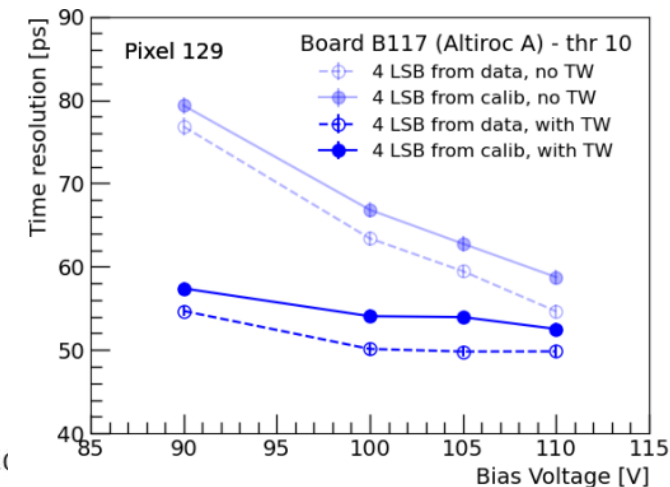
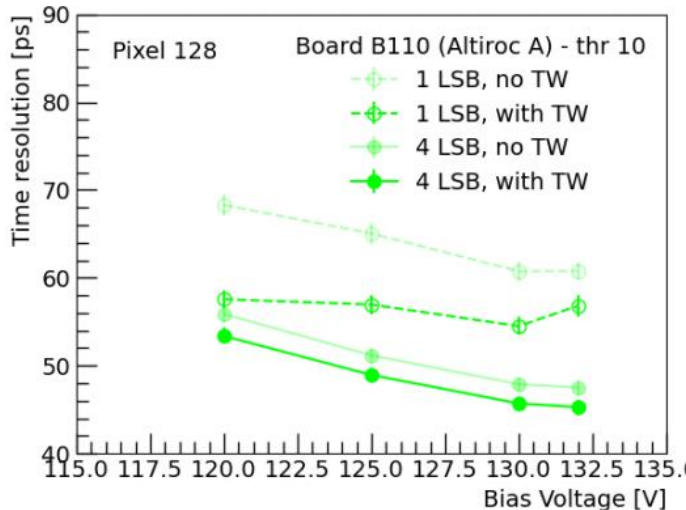
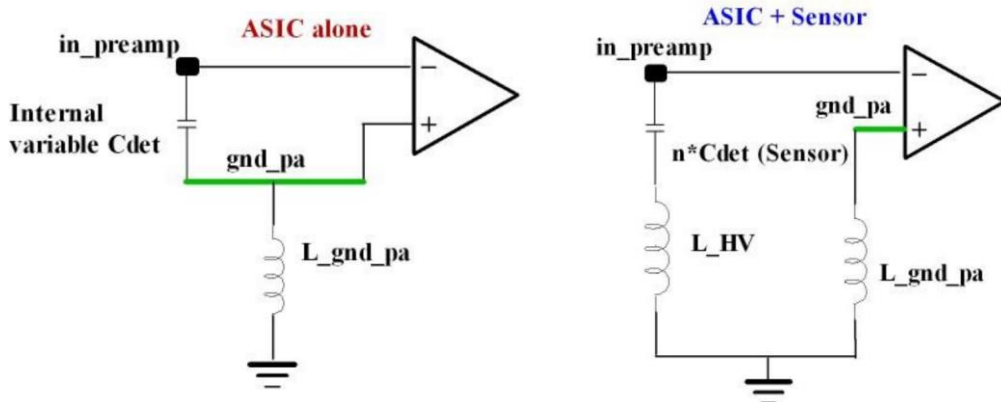
放射源测试

Test in CERN

- IHEP sensor + baseline键合
 - Better time resolution at higher voltage (~45 ps)
- USTC sensor + ACP键合
 - Time resolution ~ 51 ps
- Better time resolution using LSB calibration and time walk calibration.

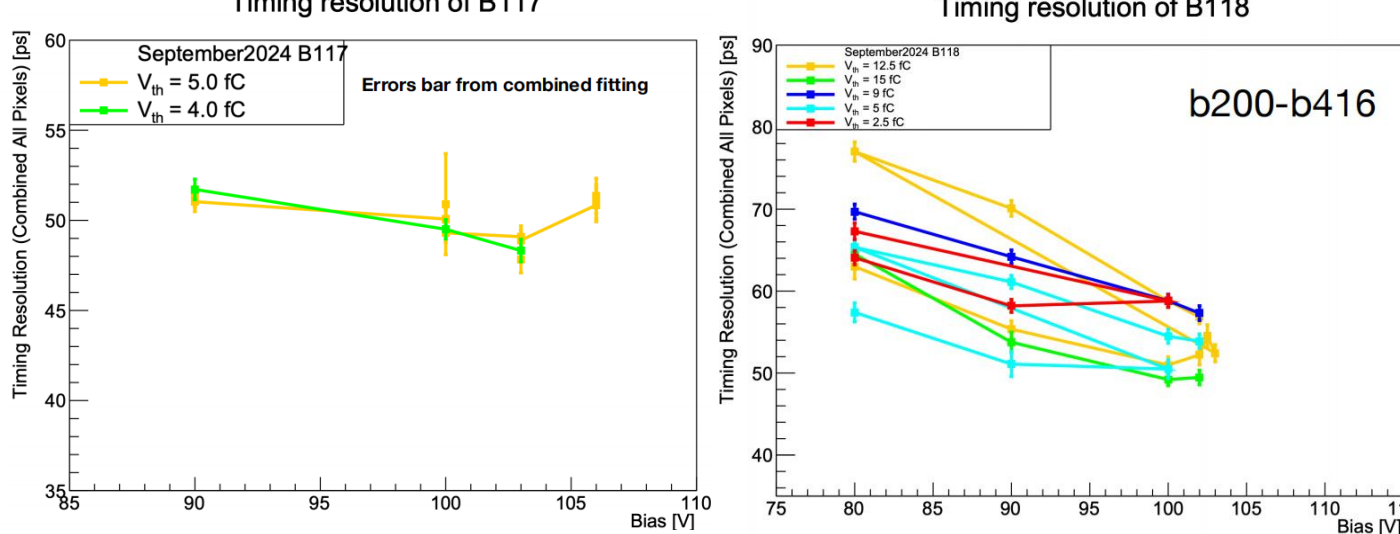
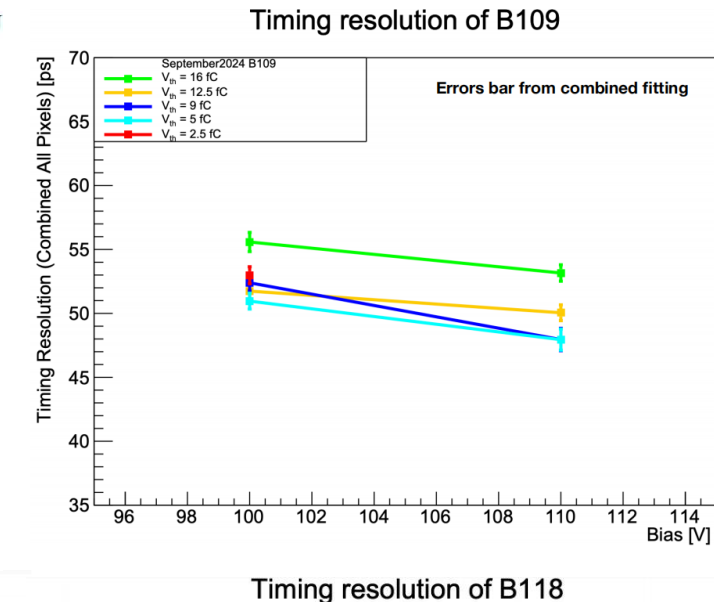
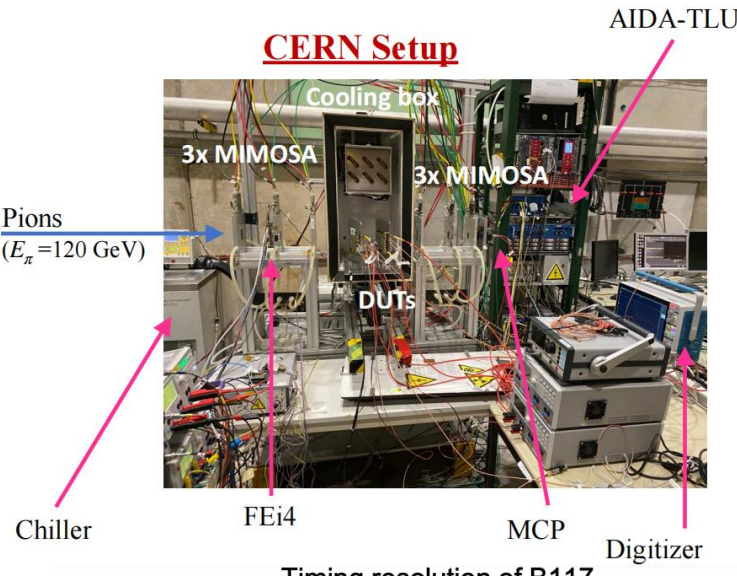
Test in USTC

- USTC sensor + baseline键合
 - TW and subtract HPK: 70.5 ps
 - Reason for bad resolution: HV decouple



束流测试

- ▶ Set-up:
 - ◇ CERN SPS with 120 GeV pion beam
 - ◇ Temperature stable at -30 °C
 - ◇ $\sigma_{MCP} \sim 10 \text{ ps}$
- ▶ 测试结果:
 - ◇ 两种sensor和键合方式都可以实现优于50ps的性能，像素之间具有良好的均匀性。



Board	Best timing [ps]	Bias [V]@Best timing	threshold [fC] @Best timing	Probe MPV [mV] @Best timing
B109	45.88	110	5-9	35
B117	47.91	103	4-5	25
B118	47.63	100	5 or 15	29

小结

根据测试结果，对时间精度的各项贡献估计如下：

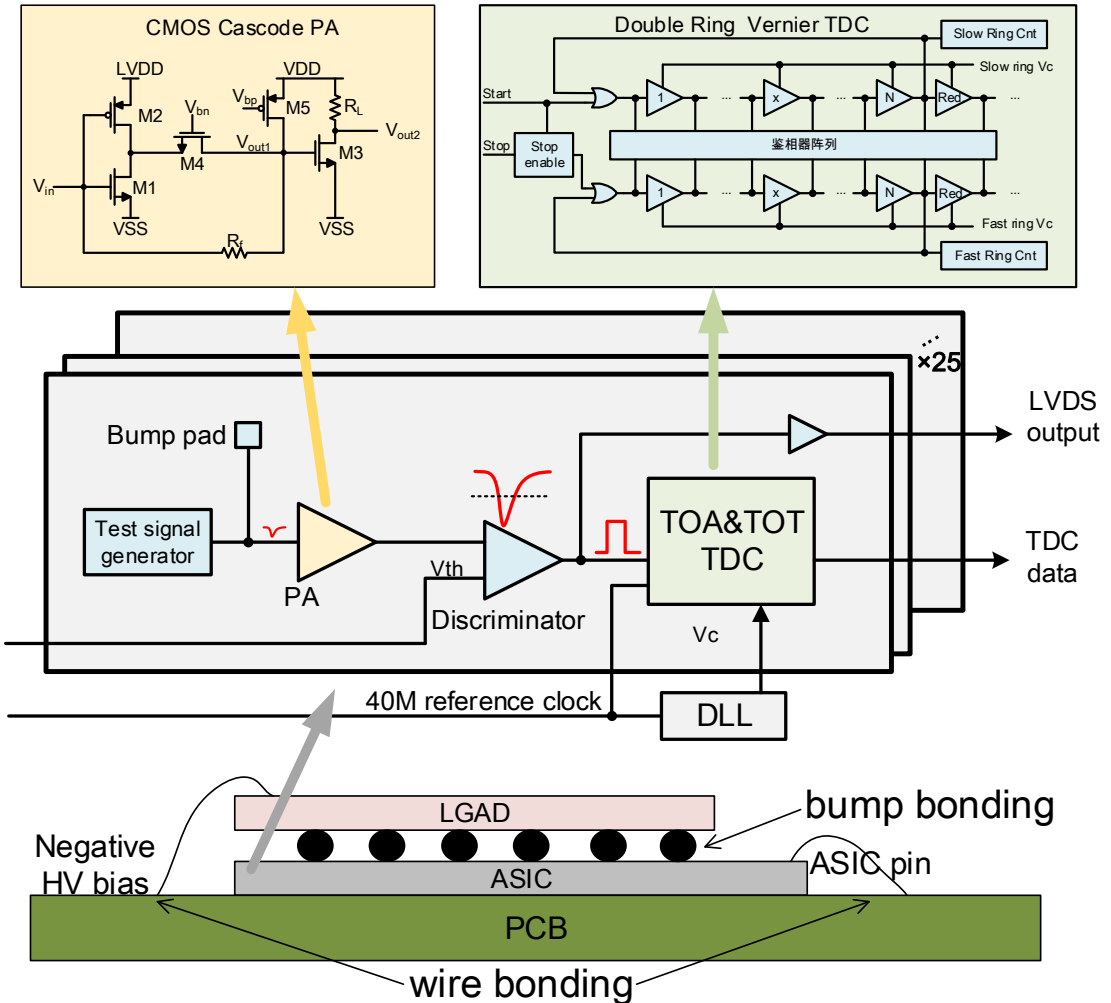
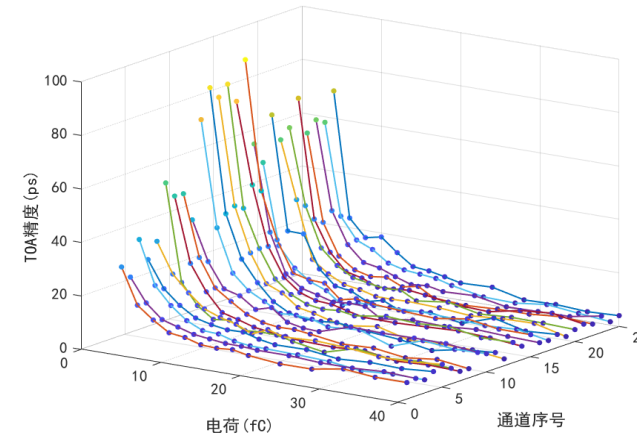
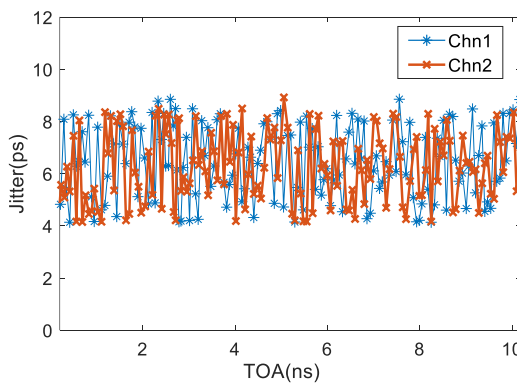
Factor	Contribution	Comments
1- ASIC jitter	$18 \pm 2 \text{ ps}$	$Q_{\text{inj}} = 20 \text{ fC}$
2- Clocks jitter	$14 \pm 1 \text{ ps}$	<i>No seen during testbeam</i>
3- TW contribution	$25 \pm 10 \text{ ps}$	TW correction works well, less efficient when we are close to the breakdown Voltage as less TW to be corrected
4- Sensor's Landau fluctuation	$30 \pm 5 \text{ ps}$	
5- TOA TDC Non Linearity	$22 \pm 5 \text{ ps}$	Possible contribution of digital noise
TOTAL	$50.3 \pm 12 \text{ ps}$	

Overview

- ▶ 背景介绍
- ▶ LGAD与ALTIROC键合后的时间性能
- ▶ 自研LATIC芯片及其与LGAD键合过程
- ▶ 总结

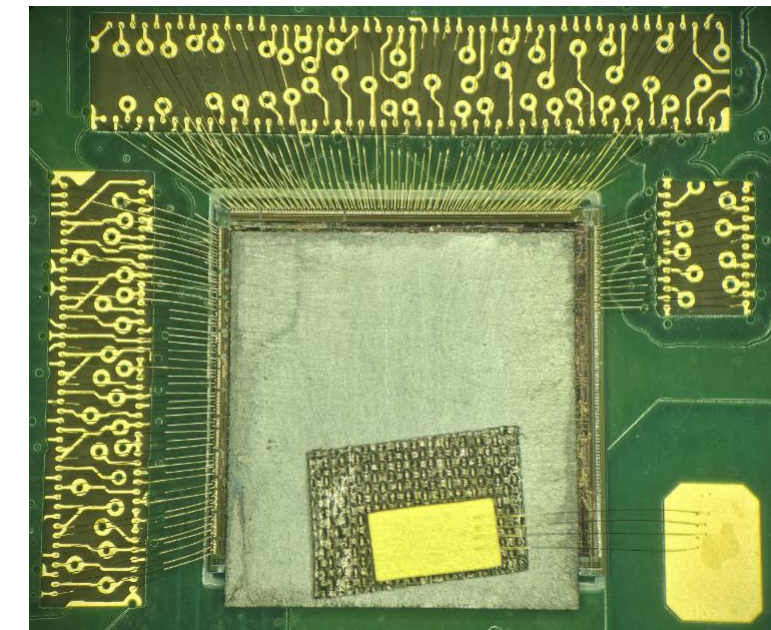
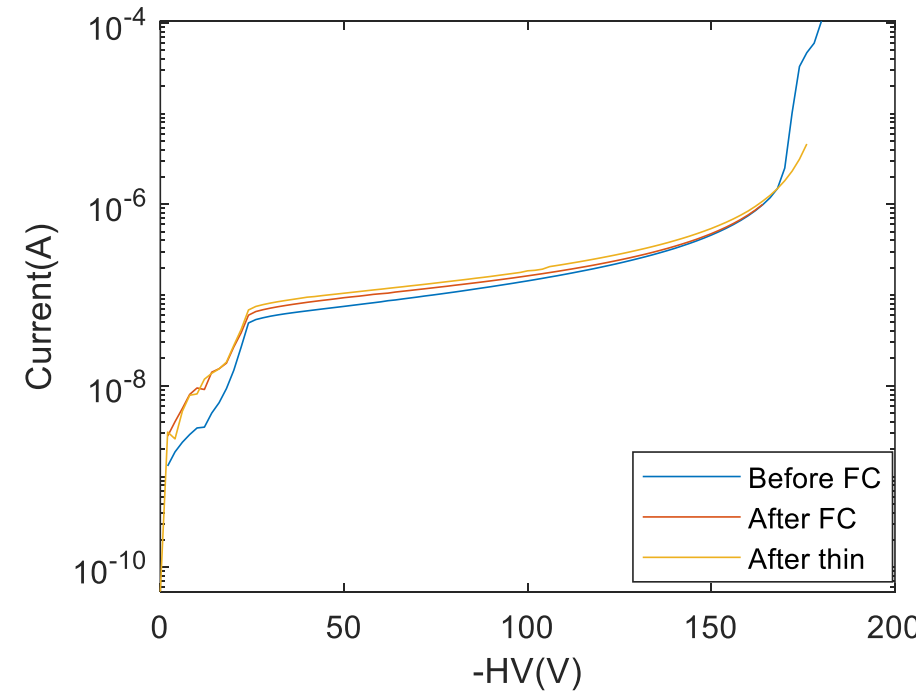
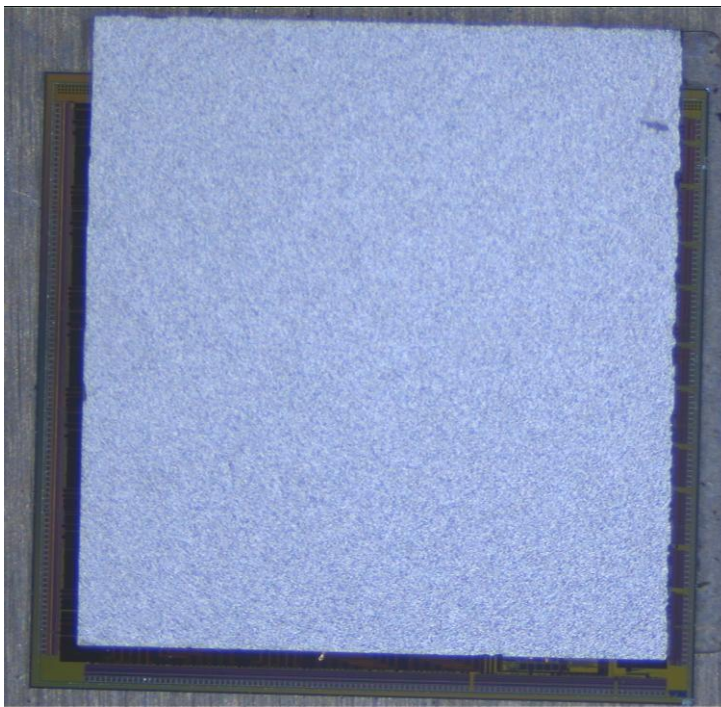
LATIC: LGAD Amplification and Timing IC

- ▶ 自研LGAD读出原型芯片
 - ◇ 5×5通道
 - ◇ TDC时间精度: 10 ps
 - ◇ 电子学时间精度: 20 ps @10 fC



ACP键合

- ▶ ASIC植球→ACP与NCA点胶→对齐→加压键合→sensor减薄→PCB打线→测试



总结和展望

- ▶ 通过多家合作单位的一系列测试，研究了 HGTD的预量产LGAD与ALTIROC键合后的时间性能：
 - ◇ USTC和IHEP设计的sensor均能达到HGTD对时间精度的要求。
 - ◇ 除了倒装焊键合方式，基于ACP的键合方式也表现出了同等的时间性能，具有可行性。
- ▶ 介绍了USTC自研的LGAD读出芯片以及键合过程
 - ◇ USTC IME sensor与LATIC已完成键合，IV曲线正常，键合后的功能和性能待验证。
- ▶ Acknowledgement : The speaker acknowledges the contributions to the comprehensive tests by many members of CERN/IFAE/IHEP/IJClab/JSI/USTC ... groups